

# 1 Le Modèle de Maryland

Le modèle de Maryland, introduit dans les travaux de Simon et al. [? ], est un modèle quasi-périodique en une dimension (1D) qui étend le cadre du modèle tight-binding en incorporant un potentiel quasi-périodique à singularité. Contrairement au modèle d'Anderson avec un potentiel aléatoire ou au modèle d'Aubry-André avec un potentiel cosinusoidal, le modèle de Maryland utilise un potentiel en tangente,  $\lambda \tan(2\pi\beta n + \theta)$ , qui présente des singularités périodiques.

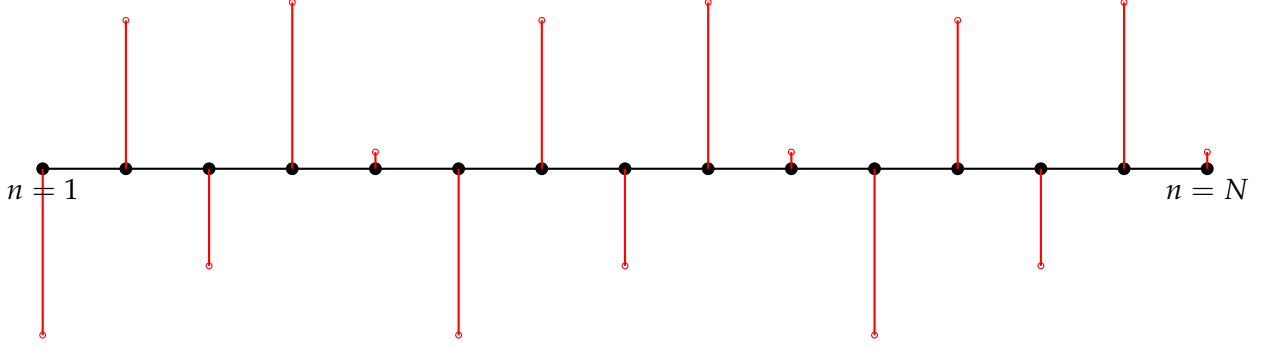


FIGURE 1 – Graphe du modèle de Maryland 1D : sites couplés avec un potentiel quasi-périodique singulier

## 1.1 Définition du Modèle

Le modèle de Maryland est un modèle tight-binding unidimensionnel avec un potentiel quasi-périodique singulier. L'Hamiltonien s'écrit dans la base des états localisés  $\{|n\rangle\}$ , où  $|n\rangle$  représente un électron localisé sur le site  $n$ , avec

$$\langle n|m\rangle = \delta_{nm}$$

$$H = \sum_n [\lambda \tan(2\pi\beta n + \theta)] |n\rangle \langle n| + t \sum_n (|n\rangle \langle n+1| + |n+1\rangle \langle n|)$$

où :

- $\lambda > 0$  est l'amplitude du potentiel quasi-périodique.
- $\beta$  est un nombre irrationnel (par exemple, le nombre d'or  $\beta = (\sqrt{5} - 1)/2$ ), assurant la quasi-périodicité.
- $\theta \in [0, 2\pi)$  est une phase initiale.
- $t > 0$  est l'amplitude de saut entre sites voisins.

Le modèle de Maryland se distingue du modèle d'Aubry-André, qui utilise un potentiel cosinusoidal  $V_n = \lambda \cos(2\pi\beta n + \theta)$ . La fonction  $\tan(2\pi\beta n + \theta)$  introduit des singularités périodiques, rendant le potentiel non borné pour certains  $n$ , contrairement au potentiel borné  $\cos$  de l'Aubry-André. Ces singularités entraînent un spectre ponctuel pour tout  $\lambda \neq 0$ , comme nous le verrons.

## 1.2 Équation de Schrödinger et Ansatz de Fourier

L'objectif est de résoudre l'équation de Schrödinger stationnaire :  
En projetant sur  $\langle n|$ , on obtient :

$$[\lambda \tan(2\pi\beta n + \theta)] \psi_n + t(\psi_{n+1} + \psi_{n-1}) = E\psi_n$$

Réarrangeons :

$$\psi_{n+1} + \psi_{n-1} = \left[ \frac{E - \lambda \tan(2\pi\beta n + \theta)}{t} \right] \psi_n$$

Pour résoudre cette équation, nous utilisons un ansatz de type Bloch généralisé, adapté aux systèmes quasi-périodiques :

$$\psi_n = e^{i\alpha n} \phi(n)$$

où  $\alpha$  est un paramètre de phase (analogue au vecteur d'onde dans un cristal périodique), et  $\phi(n)$  est une fonction périodique de période liée à la quasi-périodicité de  $\beta$ . Puisque  $\beta$  est irrationnel, le potentiel  $\tan(2\pi\beta n + \theta)$  est quasi-périodique, et  $\phi(n)$  est généralement considérée comme une fonction lentement variable ou approximativement périodique dans un cadre effectif.

**Note pédagogique:** L'ansatz  $\psi_n = e^{i\alpha n} \phi(n)$  généralise la condition de Bloch pour les cristaux périodiques, où  $\psi_n = e^{ikn} u(n)$  avec  $u(n)$  périodique. Ici,  $\alpha$  joue le rôle d'un quasi-vecteur d'onde, et  $\phi(n)$  capture les variations dues au potentiel quasi-périodique.

Substituons  $\psi_n = e^{i\alpha n} \phi(n)$  dans l'équation de Schrödinger :

$$\psi_{n+1} = e^{i\alpha(n+1)} \phi(n+1), \quad \psi_{n-1} = e^{i\alpha(n-1)} \phi(n-1)$$

L'équation devient :

$$e^{i\alpha(n+1)} \phi(n+1) + e^{i\alpha(n-1)} \phi(n-1) = \left[ \frac{E - \lambda \tan(2\pi\beta n + \theta)}{t} \right] e^{i\alpha n} \phi(n)$$

Multiplions par  $e^{-i\alpha n}$  pour simplifier :

$$e^{i\alpha} \phi(n+1) + e^{-i\alpha} \phi(n-1) = \frac{E - \lambda \tan(2\pi\beta n + \theta)}{t} \phi(n)$$

### 1.3 Problème de Rotation de Phase et Cocycle Analytique

Définissons  $\phi_n = \phi(n)$  et réécrivons l'équation sous forme matricielle. Posons  $\vec{u}_n = \begin{pmatrix} \phi_n \\ \phi_{n-1} \end{pmatrix}$ .

L'équation de récurrence s'écrit :

$$\begin{pmatrix} \phi_{n+1} \\ \phi_n \end{pmatrix} = \begin{pmatrix} \frac{E - \lambda \tan(2\pi\beta n + \theta)}{te^{i\alpha}} & -e^{-i\alpha} \\ 1 & 0 \end{pmatrix} \begin{pmatrix} \phi_n \\ \phi_{n-1} \end{pmatrix}$$

Soit la matrice de transfert :

$$M_n = \begin{pmatrix} \frac{E - \lambda \tan(2\pi\beta n + \theta)}{te^{i\alpha}} & -e^{-i\alpha} \\ 1 & 0 \end{pmatrix}$$

La dynamique est donnée par le produit :

$$\vec{u}_n = \left( \prod_{k=1}^n M_k \right) \vec{u}_0$$

Ce produit de matrices définit un **cocycle analytique**, où  $M_n$  dépend de  $\tan(2\pi\beta n + \theta)$ , et  $\beta$  irrationnel induit une rotation de phase quasi-périodique.

**Note pédagogique:** Le cocycle analytique décrit l'évolution de la fonction d'onde comme une transformation linéaire itérée, où chaque matrice  $M_n$  dépend de la phase quasi-périodique  $2\pi\beta n + \theta$ . La théorie des cocycles est un outil puissant pour analyser les systèmes quasi-périodiques, car elle relie la dynamique à des transformations géométriques comme les rotations ou les transformations de Möbius.

## 1.4 Spectre du Modèle de Maryland

Selon Simon et al. [? ], le spectre du modèle de Maryland pour  $\lambda \neq 0$  et  $\beta$  irrationnel est **ponctuel** (c'est-à-dire constitué uniquement de valeurs propres discrètes, sans partie continue). Contrairement au modèle d'Aubry-André, où une transition de localisation se produit à  $\lambda = 2t$ , le modèle de Maryland présente une localisation forte pour tout  $\lambda \neq 0$ , due aux singularités du potentiel  $\tan$ . Le spectre est :

- **Ponctuel** : Les énergies propres  $E$  forment un ensemble dénombrable, sans bande continue.
- **Dense** : Pour  $\beta$  irrationnel, le spectre est dense dans un intervalle, mais chaque état est localisé.

**Note pédagogique:** La ponctualité du spectre résulte des singularités du potentiel  $\tan$ , qui perturbent fortement la propagation des électrons, même pour de faibles  $\lambda$ . Cela contraste avec le modèle d'Aubry-André, où le spectre peut être continu pour  $\lambda < 2t$ .

## 1.5 Forme des Solutions

Les solutions de l'équation de Schrödinger peuvent être exprimées comme :

$$\psi_n = e^{i\alpha n} \prod_{j=1}^n \left( \frac{E - \lambda \tan(2\pi\beta j + \theta)}{2t} \right)$$

Cette forme découle de la récurrence de la fonction d'onde. En posant  $z_n = \frac{\psi_n}{\psi_{n-1}}$ , l'équation de récurrence donne :

$$z_n = \frac{E - \lambda \tan(2\pi\beta n + \theta)}{2te^{i\alpha}}$$

Ainsi :

$$\psi_n = \psi_0 \prod_{j=1}^n z_j = \psi_0 e^{i\alpha n} \prod_{j=1}^n \left( \frac{E - \lambda \tan(2\pi\beta j + \theta)}{2t} \right)$$

Cette solution est liée à la théorie des cocycles, car le produit  $\prod_{j=1}^n M_j$  peut être vu comme une transformation de Möbius itérée sur le plan complexe. Chaque matrice  $M_n \in SL(2, \mathbb{C})$  agit comme une transformation de Möbius :

$$z \mapsto \frac{az + b}{cz + d}, \quad \text{avec} \quad \begin{pmatrix} a & b \\ c & d \end{pmatrix} = M_n$$

Les singularités de  $\tan(2\pi\beta n + \theta)$  amplifient les fluctuations, conduisant à une localisation forte.

## 1.6 Construction Itérative de la Fonction d'Onde

Pour construire  $\psi_n$  itérativement, partons de l'équation de récurrence :

$$\psi_{n+1} + \psi_{n-1} = \left[ \frac{E - \lambda \tan(2\pi\beta n + \theta)}{t} \right] \psi_n$$

Initialisons avec  $\psi_0$  et  $\psi_1$ . Puis, pour chaque  $n \geq 1$  :

$$\psi_{n+1} = \left[ \frac{E - \lambda \tan(2\pi\beta n + \theta)}{t} \right] \psi_n - \psi_{n-1}$$

En utilisant l'ansatz  $\psi_n = e^{i\alpha n} \phi_n$ , nous résolvons pour  $\phi_n$ , puis reconstruisons  $\psi_n$ . La forme explicite donnée ci-dessus est obtenue en itérant cette récurrence.

## 1.7 Normalisation et Localisation

Pour analyser la localisation, calculons l'amplitude au carré  $|\psi_n|^2$ . À partir de :

$$\psi_n = e^{i\alpha n} \prod_{j=1}^n \left( \frac{E - \lambda \tan(2\pi\beta j + \theta)}{2t} \right)$$

on a :

$$|\psi_n|^2 = \left| \prod_{j=1}^n \frac{E - \lambda \tan(2\pi\beta j + \theta)}{2t} \right|^2 = \prod_{j=1}^n \left( \frac{E - \lambda \tan(2\pi\beta j + \theta)}{2t} \right)^2$$

L'exposant de Lyapunov  $\lambda$  est donné par :

$$\lambda = \lim_{n \rightarrow \infty} \frac{1}{n} \ln |\psi_n| = \lim_{n \rightarrow \infty} \frac{1}{n} \sum_{j=1}^n \ln \left| \frac{E - \lambda \tan(2\pi\beta j + \theta)}{2t} \right|$$

Puisque  $\beta$  est irrationnel, la séquence  $\{2\pi\beta j + \theta\} \bmod 2\pi$  est uniformément distribuée sur  $[0, 2\pi)$ . Par le théorème ergodique de Birkhoff [? ], on a :

$$\lambda = \int_0^1 \ln \left| \frac{E - \lambda \tan(2\pi x)}{2t} \right| dx$$

Pour  $|\psi_n|^2$ , on calcule :

$$\frac{1}{n} \ln |\psi_n|^2 = \frac{1}{n} \sum_{j=1}^n \ln \left( \frac{E - \lambda \tan(2\pi\beta j + \theta)}{2t} \right)^2 \approx \int_0^1 \ln \left( \frac{E - \lambda \tan(2\pi x)}{2t} \right)^2 dx$$

Pour évaluer la normalisation, la condition est  $\sum_n |\psi_n|^2 < \infty$ . Puisque  $\lambda > 0$  (dû aux singularités de  $\tan$ ),  $|\psi_n|^2 \sim e^{-2\lambda n}$  décroît exponentiellement, assurant la normalisabilité des états.

Pour démontrer que  $\lambda > 0$ , notons que  $\tan(2\pi x)$  diverge périodiquement, rendant  $|E - \lambda \tan(2\pi x)|$  grand pour certains  $x$ . L'intégrale donne typiquement  $\lambda > 0$ , car les contributions des singularités dominent. Une analyse rigoureuse (voir [? ]) montre que pour  $\lambda \neq 0$  et  $\beta$  irrationnel,  $\lambda$  est strictement positif, indiquant une localisation forte.